

**EXEMPLE QUI ILLUSTRE LE COURS
« CHOIX DU MODÈLE »**

FRÉDÉRIC BERTRAND

Nous allons traiter cet exemple issu du livre « Analyse de régression appliquée » de Yadolah Dodge, Édition Dunod.

Pour illustrer la procédure exhaustive, considérons les données du tableau suivant relatives dans les quartiers de Chicago, où *FIRE* correspond aux nombres d'incendies pour 1 000 ménages par quartier i de Chicago en 1975. La variable Y correspond au logarithme de *FIRE* et X_1 , X_2 et X_3 correspondent respectivement à la proportion d'habitants construites avant 1940, au nombre de vols et au revenu médian pour le quartier i .

| Quartier i | $FIRE$ | X_1 x_{i1} | X_2 x_{i2} | X_3 x_{i3} | Y y_i |
|-----------------|--------|-------------------|-------------------|-------------------|--------------|
| 1 | 6,2 | 0,604 | 29 | 11,744 | 1,825 |
| 2 | 9,5 | 0,765 | 44 | 9,323 | 2,251 |
| 3 | 10,5 | 0,735 | 36 | 9,948 | 2,351 |
| 4 | 7,7 | 0,669 | 37 | 10,656 | 2,041 |
| 5 | 8,6 | 0,814 | 53 | 9,730 | 2,152 |
| 6 | 34,1 | 0,526 | 68 | 8,231 | 3,529 |
| 7 | 11,0 | 0,426 | 75 | 21,480 | 2,398 |
| 8 | 6,9 | 0,735 | 18 | 11,104 | 1,932 |
| 9 | 7,3 | 0,901 | 31 | 10,694 | 1,988 |
| 10 | 15,1 | 0,898 | 25 | 9,631 | 2,715 |
| 11 | 29,1 | 0,827 | 34 | 7,995 | 3,371 |
| 12 | 2,2 | 0,402 | 14 | 13,722 | 0,788 |
| 13 | 5,7 | 0,279 | 11 | 16,250 | 1,740 |
| 14 | 2,0 | 0,077 | 11 | 13,686 | 0,693 |
| 15 | 2,5 | 0,638 | 22 | 12,405 | 0,916 |
| 16 | 7,7 | 0,669 | 37 | 10,656 | 2,041 |
| 17 | 8,6 | 0,814 | 53 | 9,730 | 2,152 |
| 18 | 34,1 | 0,526 | 68 | 8,231 | 3,529 |
| 19 | 11,0 | 0,426 | 75 | 21,480 | 2,398 |
| 20 | 6,9 | 0,735 | 18 | 11,104 | 1,932 |
| 21 | 7,3 | 0,901 | 31 | 10,694 | 1,988 |
| 22 | 15,1 | 0,898 | 25 | 9,631 | 2,715 |
| 23 | 29,1 | 0,827 | 34 | 7,995 | 3,371 |
| 24 | 2,2 | 0,402 | 14 | 13,722 | 0,788 |
| 25 | 18,5 | 0,783 | 22 | 8,014 | 2,918 |
| 26 | 23,3 | 0,790 | 29 | 8,177 | 3,148 |
| 27 | 12,2 | 0,480 | 46 | 8,212 | 2,501 |
| 28 | 5,6 | 0,715 | 23 | 11,230 | 1,723 |
| 29 | 21,8 | 0,731 | 4 | 8,330 | 3,082 |
| 30 | 21,6 | 0,650 | 31 | 5,583 | 3,073 |
| 31 | 9,0 | 0,754 | 39 | 8,564 | 2,197 |
| 32 | 3,6 | 0,208 | 15 | 12,102 | 1,281 |
| 33 | 5,0 | 0,618 | 32 | 11,876 | 1,609 |
| 34 | 28,6 | 0,781 | 27 | 9,742 | 3,353 |
| 35 | 17,4 | 0,686 | 32 | 7,520 | 2,856 |
| 36 | 11,3 | 0,734 | 34 | 7,388 | 2,425 |
| 37 | 3,4 | 0,020 | 17 | 13,842 | 1,224 |
| 38 | 11,9 | 0,570 | 46 | 11,040 | 2,477 |
| 39 | 10,5 | 0,559 | 42 | 10,332 | 2,351 |
| 40 | 10,7 | 0,675 | 43 | 10,908 | 2,370 |
| 41 | 10,8 | 0,580 | 34 | 11,156 | 2,380 |
| 42 | 4,8 | 0,152 | 19 | 13,323 | 1,569 |
| 43 | 10,4 | 0,408 | 25 | 12,960 | 2,342 |
| 44 | 15,6 | 0,578 | 28 | 11,260 | 2,747 |
| 45 | 7,0 | 0,124 | 3 | 10,080 | 1,946 |
| 46 | 7,1 | 0,492 | 23 | 11,428 | 1,960 |
| 47 | 4,9 | 0,466 | 27 | 13,731 | 1,589 |

Indications de choix de modèle

Comme il y a trois variables explicatives (X_1 , X_2 et X_3), nous avons $2^3 = 8$ modèles possibles. Appliquons à présent la procédure présentée dans le cours.

Répartissons pour cela ces huit équations en quatre ensembles :

- **Premier ensemble : l'ensemble A.** Il contient l'unique équation sans variable explicative, c'est-à-dire :

$$Y = \beta_0 + \varepsilon.$$

- **Deuxième ensemble : l'ensemble B.** Il contient les trois équations avec une seule variable explicative, c'est-à-dire :

$$Y = \beta_0 + \beta_1 X_1 + \varepsilon$$

$$Y = \beta_0 + \beta_2 X_2 + \varepsilon$$

$$Y = \beta_0 + \beta_3 X_3 + \varepsilon.$$

- **Troisième ensemble : l'ensemble C.** Il contient les trois équations avec deux variables explicatives, c'est-à-dire :

$$Y = \beta_0 + \beta_1 X_1 + \beta_2 X_2 + \varepsilon$$

$$Y = \beta_0 + \beta_1 X_1 + \beta_3 X_3 + \varepsilon$$

$$Y = \beta_0 + \beta_2 X_2 + \beta_3 X_3 + \varepsilon.$$

- **Quatrième ensemble : l'ensemble D.** Il contient l'unique équation avec trois variables explicatives, c'est-à-dire le modèle complet :

$$Y = \beta_0 + \beta_1 X_1 + \beta_2 X_2 + \beta_3 X_3 + \varepsilon.$$

Critère du coefficient de détermination multiple R^2

Ordonnons les équations à l'intérieur des ensembles B et C selon la valeur du coefficient de détermination multiple R^2 .

1. Ensemble B :

$$Y = \beta_0 + \beta_2 X_2 + \varepsilon \quad R^2 = 19,38\%$$

$$Y = \beta_0 + \beta_3 X_3 + \varepsilon \quad R^2 = 25,83\%$$

$$Y = \beta_0 + \beta_1 X_1 + \varepsilon \quad R^2 = 26,23\%.$$

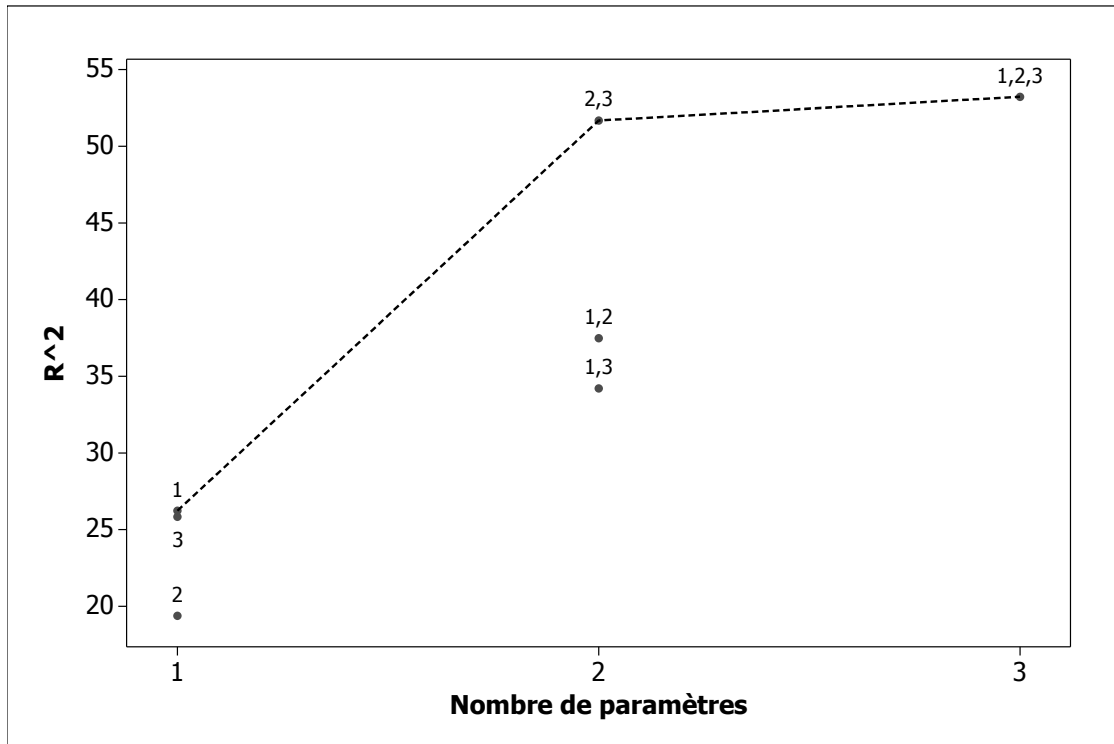
2. Ensemble C :

$$Y = \beta_0 + \beta_1 X_1 + \beta_3 X_3 + \varepsilon \quad R^2 = 34,20\%$$

$$Y = \beta_0 + \beta_1 X_1 + \beta_2 X_2 + \varepsilon \quad R^2 = 37,48\%$$

$$Y = \beta_0 + \beta_2 X_2 + \beta_3 X_3 + \varepsilon \quad R^2 = 51,68\%.$$

Notons en outre que pour le modèle complet, nous avons un coefficient de détermination multiple $R^2 = 53,22\%$ (alors que pour le modèle constant, nous avons évidemment un coefficient de détermination multiple $R^2 = 0\%$). L'introduction de la seule variable X_1 permet d'obtenir un coefficient de détermination multiple $R^2 = 26,23\%$. Par ailleurs, le fait d'avoir dans le modèle simultanément X_2 et X_3 nous donne un coefficient de détermination multiple $R^2 = 51,68\%$ proche

FIGURE 1. Graphique des R^2

du coefficient de détermination multiple R^2 du modèle complet. L'introduction supplémentaire de X_1 ne permet donc pas au coefficient de détermination multiple R^2 de s'améliorer notablement puisque le coefficient de détermination multiple R^2 passe seulement de 51,68% à 53,22%. Par conséquent, l'ajout de la variable X_1 quand X_2 et X_3 sont déjà incluses dans l'équation de régression n'améliore guère le modèle. Ceci est illustré par la figure ci-dessous où le nombre de paramètres p est représenté en abscisse et la valeur du coefficient de détermination multiple R^2 en ordonnée. Les points représentent le modèle. Les chiffres à côté de chaque point correspondent aux variables incluses dans le modèle. Cette approche graphique est pratique pour visualiser les résultats.

En observant la position des points sur le graphique 1, nous remarquons que le modèle à une variable explicative ($p = 1$) qui explique le mieux Y , est le modèle :

$$Y = \beta_0 + \beta_1 X_1.$$

L'introduction de X_2 dans le modèle comprenant déjà X_1 entraîne une hausse du coefficient de détermination multiple R^2 pour l'amener à 37,48% mais celui-ci n'est pas le plus élevé puisque le modèle qui a le coefficient de détermination multiple R^2 le plus élevé est le modèle où il y a les variables X_2 et X_3 . Ce gain s'exprime sur le graphe par une pente élevée pour la droite en pointillé entre le modèle symbolisé par **1** (pour X_1) et celui symbolisé par **23** (pour X_2 et X_3). Le passage du modèle **23** au modèle complet symbolisé par **123** n'apporte pratiquement aucune

contribution supplémentaire au coefficient de détermination multiple R^2 . En effet, la droite entre **23** et **123** présente une pente relativement faible.

Par conséquent, en se basant sur le critère du coefficient de détermination multiple R^2 , l'équation comprenant les variables X_2 et X_3 s'avère être la meilleure, compte tenu de l'ensemble des variables considérées.

Critère du R^2 ajusté

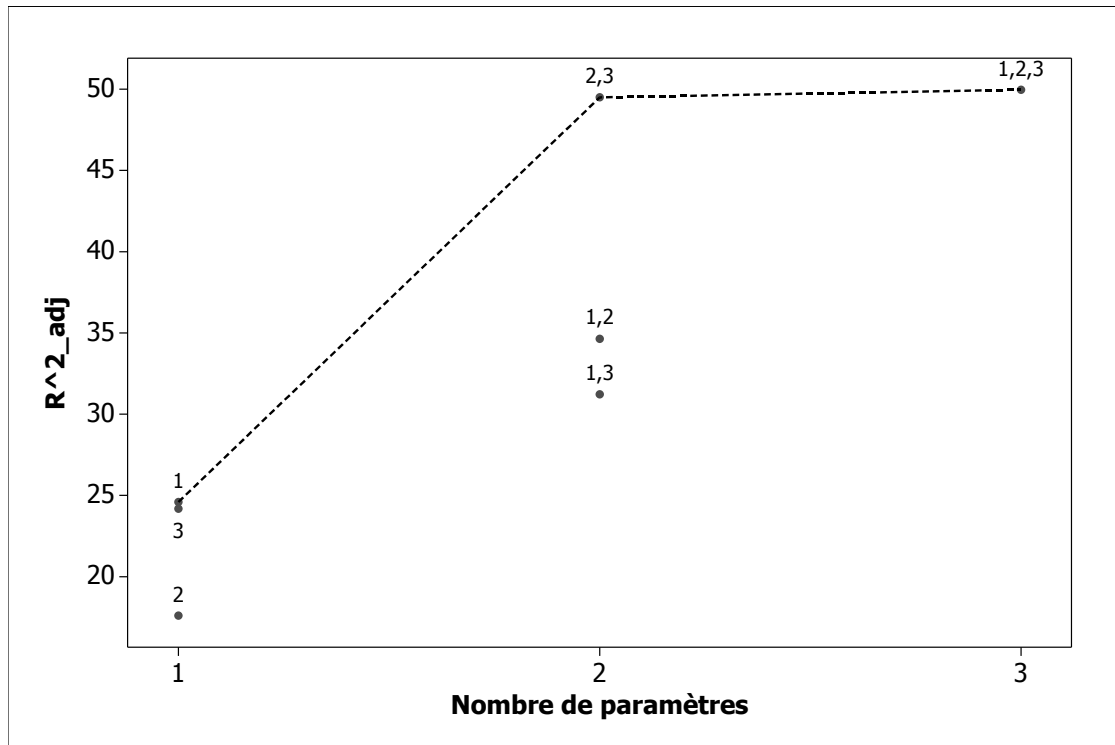
Le tableau ci-dessous donne le coefficient de détermination multiple R^2 et le coefficient de détermination multiple ajusté R^2 pour tous les modèles possibles (les modèles sont symbolisés de la même manière que ci-dessus)

Tableau présentant le R^2 et le R^2 ajusté.

| Modèle | R^2 | R_{aj}^2 |
|------------|--------|------------|
| 1 | 0.2623 | 0.2459 |
| 3 | 0.2583 | 0.2418 |
| 2 | 0.1938 | 0.1759 |
| 23 | 0.5168 | 0.4949 |
| 12 | 0.3748 | 0.3464 |
| 13 | 0.3420 | 0.3121 |
| 123 | 0.5322 | 0.4996 |

Pour chaque modèle, nous remarquons que la valeur du coefficient de détermination multiple ajusté R_{aj}^2 ne diffère que faiblement de celle du coefficient de détermination multiple R^2 . De plus, nous constatons que le passage d'une équation comprenant un seul terme explicatif à une équation en comprenant deux, entraîne un accroissement non négligeable de la valeur de R_{aj}^2 . En appliquant strictement le critère du R_{aj}^2 , nous sommes orientés vers le modèle complet pour lequel nous avons un R_{aj}^2 maximal de 49,96%.

Nous résumons ces informations dans le graphique 2.

FIGURE 2. Graphique des R^2 ajustés

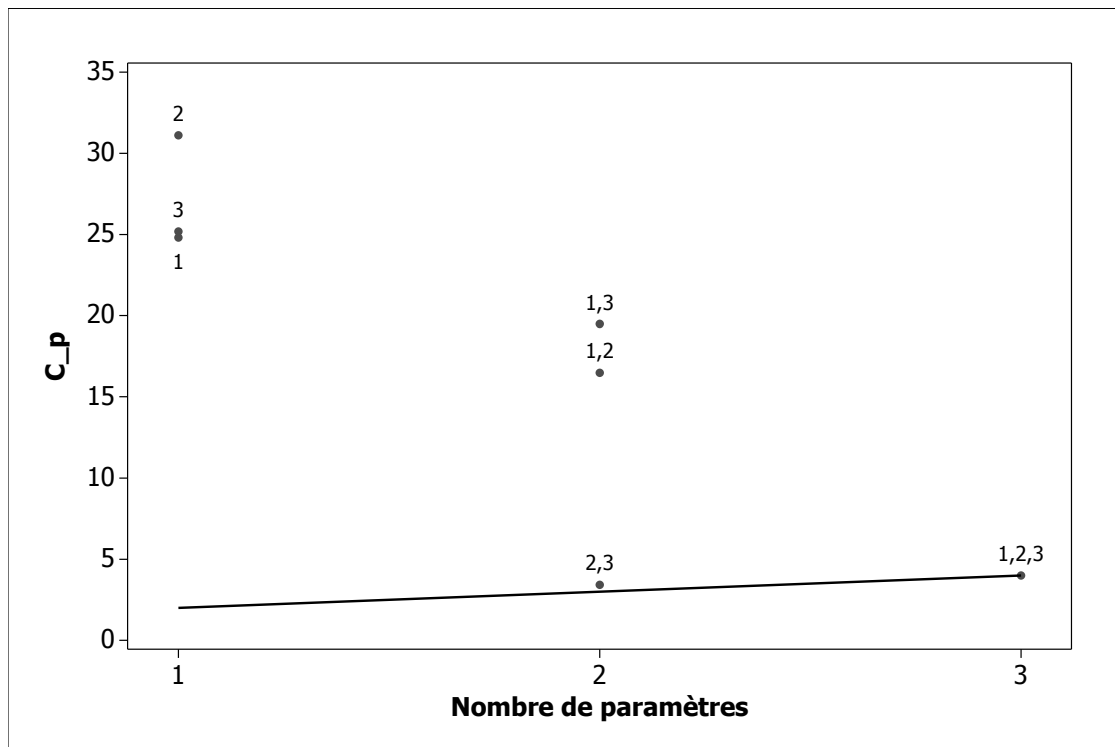
Critère du C_p de Mallows

Le troisième critère, le C_p de Mallows, permet de sélectionner la meilleure équation en fonction du biais du modèle. On a le tableau suivant :

Tableau présentant le R^2 , le R^2 ajusté et le C_p de Mallows.

| Modèle | R^2 | R^2_{aj} | C_p |
|------------|--------|------------|----------|
| 1 | 0.2623 | 0.2459 | 24, 8118 |
| 3 | 0.2583 | 0.2418 | 25, 1799 |
| 2 | 0.1938 | 0.1759 | 31, 1135 |
| 23 | 0.5168 | 0.4949 | 3, 4171 |
| 12 | 0.3748 | 0.3464 | 16, 4750 |
| 13 | 0.3420 | 0.3121 | 19, 4891 |
| 123 | 0.5322 | 0.4996 | 4, 000 |

Dans un modèle comprenant une seule variable explicative, deux paramètres sont à estimer. De ce fait C_p devrait approcher la valeur de $p = 2$ ce qui n'est pas le cas dans notre exemple. Un modèle comprenant deux variables explicatives devrait restituer un C_p proche de 3. En se référant au tableau ci-dessus, nous obtenons une valeur

FIGURE 3. Graphique des C_p

proche de 3 pour le modèle symbolisé par **23**. La valeur de $C_p = 4$ obtenue pour le modèle complet n'est pas intéressante puisque le critère de sélection associé au C_p ne s'applique pas au modèle complet. Nous traçons alors sur un même graphique, le graphique 3, la droite $C_p = p$ et les différentes valeurs de C_p obtenues pour les modèles **1**, **2**, **3**, **12**, **13**, **23** et **123**. Nous remarquons alors que le modèle sélectionné par le critère du C_p est le modèle **23**.